05,11

# Отрицательное магнетосопротивление в сильных магнитных полях в углеродной наноструктуре, полученной методом PECVD

© А.А. Харченко, А.К. Федотов, Ю.А. Федотова

Институт ядерных проблем Белорусского государственного университета,

Минск, Республика Беларусь

E-mail: XaaTM@mail.ru

Поступила в Редакцию 31 декабря 2024 г. В окончательной редакции 19 июля 2025 г. Принята к публикации 23 сентября 2025 г.

Исследован отрицательный магнеторезистивный эффект (ОМР), наблюдаемый в квазидвухмерных графитовых слоях, на поверхности которых были сформированы островки-зародыши вертикального графена (VGN) с высокой плотностью парамагнитных дефектов (ПМЦ) с нескомпенсированными спинами. Предложена гипотеза возможной причины наблюдения ОМР, который формально описывается теорией квантовых поправок к проводимости Друде при ориентации магнитного поля перпендикулярно плоскости слоя. Модель основана на предположении, что магнитный поток Ф распределен неоднородно вдоль плоскости С-слоя из-за того, что островки фазы VGN содержат высокую плотность ПМЦ с нескомпенсированными спинами. В окрестности скоплений ПМЦ индуцируются ферромагнитные области вследствие параллельного выстраивания спинов на ПМЦ за счет обменного взаимодействия. Предполагается, что описанное перераспределение магнитного потока Ф должно приводить к его концентрации в областях расположения островков-зародышей VGN-фазы и его сильное ослабление (разреженность) между островками. Это и объясняет наблюдение ОМР эффекта, описываемого теорией квантовых поправок, при высоких значениях даваемого сверхпроводящим соленоидом внешнего магнитного поля В (до 8 Т), хотя в действительности большая часть проводящего С-слоя фактически находится в сильно ослабленном поле.

**Ключевые слова:** квантовые поправки к проводимости, слабая локализация, отрицательный магнеторезистивный эффект, вертикальный графен, углеродная наноструктура, магнетизм в углеродных структурах.

DOI: 10.61011/FTT.2025.09.61619.358-25

## 1. Введение

В литературе имеется обилие научных работ, посвященных получению графито- и графеноподобных наноструктур и изучению связи между структурой и многими прикладными свойствами (см. [1-9] и др. и ссылки в них). Однако применительно к электрическим свойствам графитоподобных наноструктурированных материалов до сих пор нет полного понимания этой связи. Одним из таких проблемных вопросов является природа возникновения отрицательного магниторезистивного (ОМР) эффекта в некоторых материалах на основе углерода. Во многих работах (см., например, работы по графиту и поликристаллическому одно- и мультислойному CVD графену ([10,11] и др.) этот эффект интерпретируется на основе теории квантовых поправок (QC) Аронова-Альтшулера к проводимости Друде ([10] и другие), обусловленных сбоем фазы волновых функций электронов при их движении в условиях, так называемой, слабой локализации (weak localization, WL). Однако такая интерпретация не учитывает, что, согласно теории, квантовые поправки должны подавляться уже в слабых магнитных полях (не выше 50-100 mT). Поэтому использование данной модели для объяснения существования эффекта ОМР в существенно более сильных магнитных полях (в том числе от 1 до 8Т) не вполне корректно. Вторая проблема — влияние магнитных

свойств на транспорт носителей заряда в некоторых структурах на основе углерода. В [11,12] теоретически предсказано образование магнитных центров даже при отсутствии в образцах магнитных ионов, что затем было обнаружено экспериментально в работах [13–15].

В статье предлагается гипотеза, которая объясняет возможные причины наблюдения эффекта ОМР во внешних магнитных полях выше 1 Т, формально описываемого в рамках теории квантовых поправок WL. В рамках этой гипотезы предполагается сильно неоднородное распределение плотности магнитного потока Ф по площади образца, если в последнем присутствуют области (в том числе и наноразмерные), в которых имеется большая концентрация парамагнитных центров (ПМЦ) с нескомпенсированными спинами. В результате, такие области могут обладать высоким ферромагнитным моментом даже без наличия ферромагнитных ионов вследствие параллельного выстраивания спинов на ПМЦ за счет обменного взаимодействия. Возникновение подобной ситуации может, например, привести к сильной концентрации магнитного потока в области упомянутых гипотетических кластеров и резкое его ослабление между этими кластерами.

Особенности магнито-транспорта в описанных условиях представляют интерес как с точки зрения корректного понимания эффектов WL, так и косвенного подтверждения образования магнитных включений без

использования магнитных легирующих элементов в тонких углеродных слоях. В качестве объекта исследования использовались слои графита толщиной 35 nm, полученные на начальных этапах синтеза так называемых вертикальных графеновых нанолистов (vertical graphene nanosheets (VGN)) [15–17]. Согласно работам [18–21], в местах разрыва такого слоя на некоторой стадии синтеза возникают островки-зародыши будущей VGN-фазы с повышенной концентрацией дефектов. Эти дефекты могут представлять собой ПМЦ с нескомпенсированными спинами и выступать источником индуцированного ферромагнетизма.

# 2. Методика

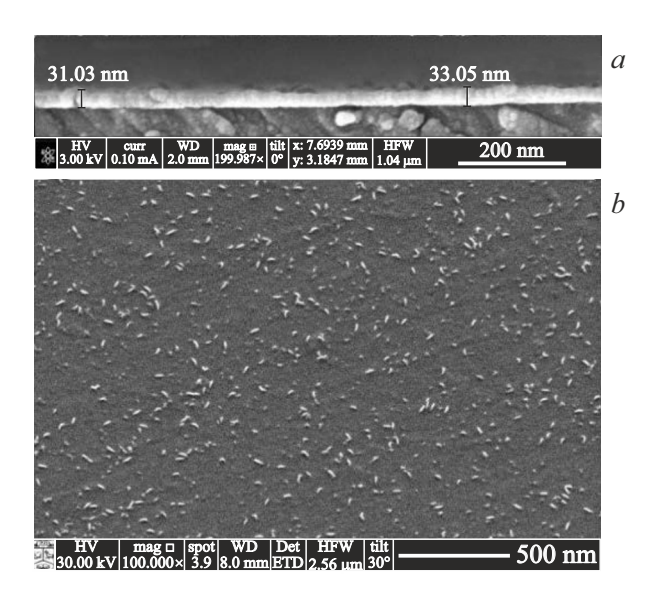
Выращивание исследуемой структуры производилось методом химического осаждения из газовой фазы, усиленной микроволновой плазмой (PECVD) на установке Innovative Plasma Systems GmbH IPLAS [18-20]. Выбор времени осаждения углерода на подложку для этих образцов осуществлялся исходя из представлений о процессе формирования VG-структур, сформулированных в работах [16,17,22], когда на первом этапе осаждения появляются "зародыши" нанографитовой фазы. На втором этапе эти "зародыши" разрастаются и сливаются в тонкий локально поврежденный графитовый подслой, полностью покрывающий подложку. На третьем этапе в области наиболее поврежденных зон этого подслоя происходит зарождение островков VGN-фазы. На четвертом этапе роста формируется вертикальная графеноподобная VGN-структура, перпендикулярная подложке. Согласно поставленной задаче, в представляемой работе по изучению электротранспорта графитового подслоя на начальной (островковой) стадии зарождения VGN, PECVD рост приостанавливался на третьей стадии.

Исследования поверхности образцов были выполнены с использованием сканирующего электронного микроскопа (СЭМ) FEI Quanta 200 FEG с разрешением 1.2 nm, содержащего источник электронной эмиссии поля в электронной пушке типа Шоттки. СЭМ-изображения в поперечном сечении получали с использованием двухлучевой системы Helios Nanolab 650 [18–20].

Температурные и магнитополевые зависимости слоевого электросопротивления  $R_{\square}$  и проводимости  $\sigma_{\square}$  измерялись в температурном диапазоне  $2 < T < 300 \, \mathrm{K}$  на бескриогенной измерительной системе (Cryogenics Ltd, Великобритания) на базе рефрижератора замкнутого цикла [20,23,24]. Относительнный магниторезистивный эффект определялся соотношением  $MR(B) = [R_{\square}(B,T) - R_{\square}(0,T)]/R_{\square}(0,T)$ .

## 3. Результаты

СЭМ-изображения поверхности и поперечного сечения представлены на рис. 1 (см. также [18-20]). Как видно на рис. 1, b, поверхность представляет собой



**Рис. 1.** СЭМ-изображения поперечного сечения (a) и поверхности (b) образца в режиме обратно рассеянных электронов.

достаточно однородную структуру с наличием большого количества неперекрывающихся светлых областей с размерами до  $20-30\,\mathrm{nm}$ . Как видно из поперечных сколов на рис. 1,a, в соответствии с описанной выше схемой роста, образец содержит нанографитовый буферный С-подслой средней толщиной порядка  $35\pm5\,\mathrm{nm}$ , на котором случайным образом, без перекрытия, распределены островки будущей VGN-фазы.

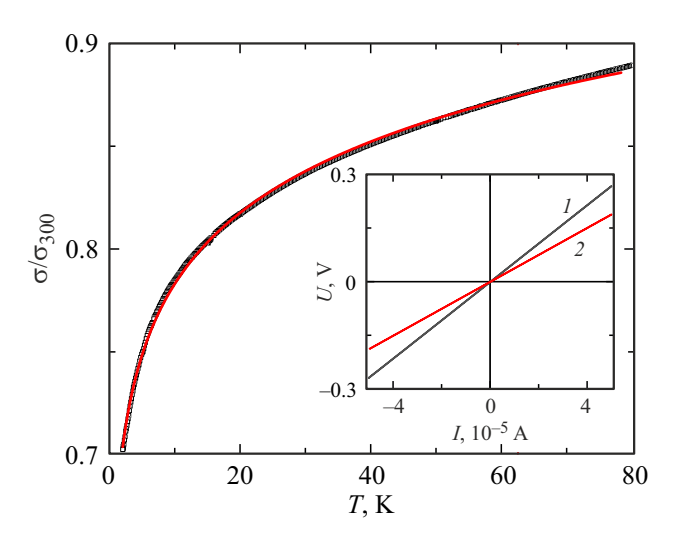
Перед началом измерений температурных зависимостей проводимости (сопротивления) измерялись вольтамперные характеристики образца при температурах 2 и 300 К (кривые 1 и 2 соответственно на вставке к рис. 2). Последние оказались линейными [20], что свидетельствует об омичности используемых электрических контактов.

Температурная зависимость слоевой проводимости  $(\sigma_{\square}(T))$  представлена на рис. 2. Экспериментальная кривая (точки) может быть описана в рамках QC к проводимости Друде в условиях суперпозиции двумерных (2D) и трехмерных (3D) WL поправок [25]:

$$\begin{split} \sigma_{\square}(T) &= \sigma_D(T) - \left( G_0 \operatorname{Ln} \left( \frac{\tau_{\varphi 2D}(T)}{\tau(T)} \right) \right)_{2D} \\ &- \left( \operatorname{const}_{3D} - G_0 \left( D \tau_{\varphi 3D}(T) \right)^{-1/2} \right)_{2D}, \end{split} \tag{1}$$

где  $\sigma_{\rm D}$  — проводимость Друде, T — температура,  $\tau$  — время релаксации импульса электрона при упругом рассеянии,  $\tau_{\phi}$  — время релаксации фазы волновой функции электрона (время срыва фазы), D — коэффициент диффузии электрона,  $G_0=e^2/(\pi h)\approx 1.23\cdot 10^{-5}~\Omega^{-1},~e$  — заряд электрона, h — постоянная Планка.

Известно [26], что  $\tau_{\varphi}$  описывается температурной зависимостью типа  $\tau_{\varphi} = AT^{-p}$ , где A — коэффициент пропорциональности, а p — параметр, величина которого определяется механизмом рассеяния носителей



**Рис. 2.** Температурная зависимость слоевой проводимости образца (черные точки) и ее аппроксимация формулой (3) (красная кривая). На вставке изображены вольтамперные характеристики при температуре 2 (I) и 300 К (I2).

заряда в условиях WL. В этом случае уравнение (1) принимает вид:

$$\sigma_{\square}(T) = \sigma_D(T) - G_0 \operatorname{Ln}\left(\frac{A_{2D}T^{-p_{2D}}}{\tau(T)}\right)$$
$$-\operatorname{const}_{3D} + G_0(DA_{3D}T^{-p_{3D}})^{-1/2}, \qquad (2)$$

где  $p_{\rm 2D}$  и  $p_{\rm 3D}$  — параметры p для 2D и 3D WL поправок соответственно.

В предположении, что  $\sigma_{\square}$  слабо зависит от температуры и с учетом  $\tau_{\varphi}\gg \tau$  следует, что основной вклад в изменение температурной зависимости проводимости будет определяться зависимостью  $\tau_{\varphi}(T)$ . Если компоненты проводимости, которые слабо зависят от температуры, обозначить

$$\sigma_0 = \sigma_D(T) + G_0 \operatorname{Ln}(\tau) - G_0 \operatorname{Ln}(A) - \operatorname{const}_{3D},$$

температурная зависимость проводимости в условиях WL принимает вид:

$$\sigma(T) = \sigma_0 + p_{2D}G_0 \operatorname{Ln}(T) + \sqrt{DA_{3D}G_0^2} T^{p_{3D}/2}.$$
 (3)

Из рис. 2 видно, что экспериментальные данные хорошо описываются уравнением (3) (красная кривая на рис. 2) с показателем степени  $p_{\rm 2D}=1$  и  $p_{\rm 3D}=1$ , что соответствует механизму упругого рассеяния на примесях [26]. При этом доминирующим механизмом, ответственным за температурное изменение проводимости, является вклад двумерной квантовой поправки (второе слагаемое в соотношении (3)).

Для уточнения механизмов проводимости дополнительно исследовался относительный магниторезистивный эффект в продольном и поперечном магнитном поле. В диапазоне температур до 10 К и при продольной ориентации В относительно плоскости изучаемого

углеродного подслоя (рис. 3, черные квадраты (1)) для кривых MR(B) наблюдается положительное магнитосопротивление (ПМС), обусловленное влиянием силы Лоренца на дрейф носителей заряда. Это означает, что толщина углеродного подслоя допускает перемещение/отклонение носителей заряда в направлении, перпендикулярном плоскости образца, под действием ориентированного в плоскости образца магнитного поля.

Как известно, в условиях WL приложение магнитного поля при фиксированной температуре должно ослаблять вклад QC в проводимость Друде, что проявляется как ОМР. Действительно, как видно из рис. 3 (синие круги (2)), в случае перпендикулярной ориентации магнитного поля ход кривой MR(B) может быть описан теорией Аронова—Альтшулера для QC к проводимости Друде интерференционного происхождения [4] (зеленая кривая (3)):

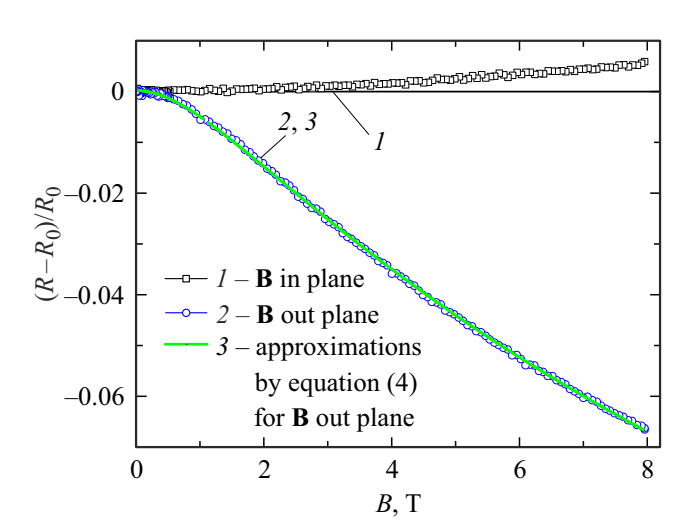
$$\frac{\Delta \rho_{\square}(B,T)}{\rho_{\square}(0,T)} = -\frac{e^2}{\pi h \rho_{\square}(0,T)} F(x),\tag{4}$$

где

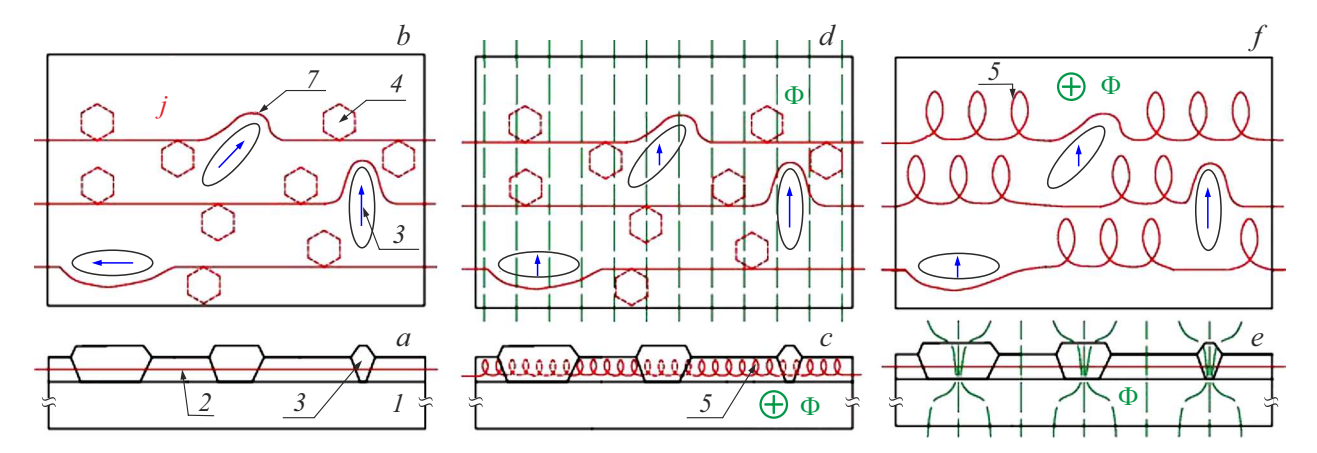
$$F(x) = \ln(x) + \psi(0.5 + x^{-1}), \tag{5}$$

 $\psi$  является дигамма-функцией. Здесь параметр  $x=B/B_{\phi}$  определяется отношением индукции внешнего магнитного поля B к некоторому характеристическому полю  $B_{\phi}$ , зависящему от характера процесса рассеяния носителей заряда.

Как видно из рис. 3, полевая зависимость относительного магнитосопротивления хорошо описывается уравнением (4). Однако увеличение ОМС наблюдается вплоть до значений магнитного поля порядка 8 Т, тогда как согласно теории [4] эффект ОМР в теории WL должен подавляться при очень слабых значениях



**Рис. 3.** Полевая зависимость относительного магнитосопротивления MR(B) для продольной (I) и перпендикулярной (2) ориентации магнитного поля относительно плоскости углеродного подслоя при температуре T=7 К. Зеленая кривая (3) — аппроксимации уравнением (4) при перпендикулярной ориентации магнитного поля.



**Рис. 4.** Схематическое изображение транспорта носителей заряда в образце без магнитного поля (a,b) и с ориентацией вектора B вдоль (c,d) либо перпендикулярно (e,f) плоскости углеродного подслоя. I — подложка, 2 — проводящий подслой нанографита, 3 — островки VGN фазы с кластерами парамагнитных центров (дефектов), 4 — самопересекающиеся траектории носителей, обеспечивающие вклад в проводимость от механизма WL, 5 — движение носителей под действием силы Лоренца, 7 — траектории, огибающие островки VGN фазы. Магнитный поток  $\Phi$  обозначен зелеными линиями, линии тока j — красными линиями, синие стрелки (6) внутри островков VGN фазы (3) указывают магнитные моменты M от кластеров, обогащенных парамагнитными центрами в островках.

 $B\sim 100-200$  mT. Помимо смещения эффекта OMP в область сильных магнитных полей, наблюдается завышенное значение параметра  $B_{\varphi}\approx 1$  T, которое на самом деле должно быть близко к  $B_{\varphi}\approx 0.05$  T [23]. Для объяснения отмеченного мы можем использовать описанную выше гипотезу, которая представлена на рис. 4 в виде условных схем, показывающих условные траектории движения носителей заряда вдоль графитового подслоя, в том числе между островковыми кластерами фазы VGN, как в нулевом магнитном поле (рис. 4, a, b), так и в магнитном поле, направленном либо параллельно (рис. 4, c и d), либо перпендикулярно (рис. 4, e и f) плоскости образцов.

Согласно схеме на рис. 4, a, b в нулевом магнитном поле на линиях тока (красная токовая линия j) при движении вдоль подслоя нанографита в условиях WL под действием электрического поля выделены участки траекторий двух типов: (1) участки траектории типа 4, которые соответствуют диффузии носителей заряда по круговым или самопересекающимся траекториям, что описывается теорией квантовых поправок Аронова—Альтшулера [4] и (2) участки линий тока типа 7, символизирующие рассеяние электронов на наиболее поврежденных (дефектных) участках подслоя графита вблизи островков VGN, приводящие к огибанию их электронами (рис. 4, b).

При помещении образца в продольное магнитное поле (рис. 4,d), когда магнитный поток  $\Phi$  параллелен плоскости графитового подслоя, области с самопересекающимися траекториями типа 4, обусловленные эффектами WL, и траектории с огибанием островков VGN-фазы сохраняются. В то же время появляются циклоиды типа 5, ориентированные перпендикулярно плоскости графитового подслоя (рис. 4,c), что обусловлено влиянием силы Лоренца на движение носителей (из-за взаимной перпендикулярности векторов тока и магнитного поля),

что проявляется в виде ПМС на зависимостях MR(B) при низких температурах.

Когда магнитный поток  $\Phi$  направлен нормально к плоскости графитового подслоя и соответствует сбивающим фазу волновых функций значениям магнитных полей B (рис. 4,e и f), квантовые поправки согласно теории интерференционных эффектов WL подавляются (исчезает роль интерференции электронов у самопересекающихся участков траекторий типа 4), последнее и проявляется в виде ОМР на кривых MR(B). При этом под действием силы Лоренца становятся возможными циклоидальные участки линий тока (типа 5), лежащие в плоскости графитового подслоя. Участки линий тока типа 7, символизирующие изгиб токовых линий вокруг наиболее поврежденных участков графитового подслоя вблизи островков VG, также сохраняются.

Представленная схематически на рис. 4 феноменологическая гипотеза, описавшая выше движение носителей заряда вдоль графитового подслоя с островками, позволяет объяснить расхождение между экспериментом и теорией, интерпретируя его на основе неоднородного распределения плотности магнитного потока  $\Phi$  по площади графитового подслоя, представленного на рис. 4, e.

Напомним, что в основе этой гипотезы лежит представление о существовании неоднородного распределения  $\Phi$  вследствие высокой концентрации парамагнитных дефектов (см., рис. 2, c [21]), что приводит к образованию ферромагнитного момента в окрестности островковзародышей в окрестности VGN-фазы. В результате между островками реальная напряженность магнитного поля B становится крайне малой (по сравнению со средним полем, создаваемым извне сверхпроводящим соленоидом), соответствуя предсказанию теории квантовых поправок к проводимости Друде в углеродном подслое. В результате, вычисленное нами на основе

теории WL из уравнения (6) завышенное значение параметра  $B_{\varphi}$ , а также смещении эффекта OMP от WL в область существенно больших полей являются кажущимися, как и отсутствие наблюдения в наших измерениях эффекта ПМР.

#### 4. Заключение

В слоях графита толщиной 35 nm с включениями островков VGN-фазы, полученных методом химического осаждения из газовой фазы, усиленной микроволновой плазмой (PECVD), на начальных этапах синтеза вертикальных графеновых нанолистов обнаружено, что температурные кривые проводимости описываются проводимостью Друде в условиях слабой локализации (в виде комбинации 2D и 3D квантовых поправок). Показано, что полевая зависимость отрицательного относительного магниторезистивного (OMP) эффекта описывается уравнением для слабой локализации с сильно завышенным значением параметра  $B_{\phi} \approx 1\,\mathrm{T}$  при температуре  $T=7\,\mathrm{K}$ .

Выдвигается гипотеза, объясняющая причины наблюдения эффекта ОМР в относительно сильных магнитных полях (> 1 Т), который формально описывается в рамках теории квантовых поправок (в условиях слабой локализации). Ключевым положением гипотезы является возникновение сильной неоднородности в распределении плотности магнитного потока Ф по образцу. Эта неоднородность обусловлена наличием наноразмерных областей с высокой концентрацией парамагнитных центров (ПМЦ) с нескомпенсированными спинами. За счет обменного взаимодействия спины ПМЦ в таких областях могут выстраиваться параллельно, формируя локально-ферромагнитное упорядочение даже без участия ионов ферромагнитных материалов. Это вызывает резкую пространственную неоднородность Ф: сильную концентрацию магнитного потока внутри областей с высокой концентрацией ПМЦ и его значительное ослабление в промежутках между ними.

#### Финансирование работы

Работа выполнена при финансовой поддержке Государственной программы научных исследований Республики Беларусь "Фотоника и электроника для инноваций" на 2021—2025 годы, подпрограмма "Микро- и наноэлектроника", договор № 20212560.

## Конфликт интересов

Авторы заявляют, что у них нет конфликта интересов.

#### Список литературы

- [1] X. Zhang, Q. Xue, D. Zhu. Physics Letters A **320**, 471 (2004).
- [2] Y. Hishiyama, H. Irumano, Y. Kaburagi, Y. Soneda. Phys. Rev. B 63, 245406 (2001).

- [3] Y. Kaburagi, Y. Hishiyama. Carbon 36, 1671 (1998).
- [4] E. McCann, K. Kechedzhi, V.I. Fal'ko, H. Suzuura, T. Ando, B. Altshuler. Phys. Rev. Lett. 97, 146805 (2006).
- [5] O. Mermer, G. Veeraraghavan, T. Francis, Y. Sheng, D. Nguyen, M. Wohlgenannt, A. Köhler, M.K. Al-Suti, M.S. Khan. Phys. Rev. B 72, 205202 (2005).
- [6] A.S. Alexandrov, V.A. Dediu, V.V. Kabanov. Phys. Rev. Lett. 108, 186601 (2012).
- [7] E. Andrade, F. López-Urías, G.G. Naumis. Phys. Rev. B 107, 235143 (2023).
- [8] C. Zhao, Q. Huang, L. Valenta, K. Eimre, L. Yang, A.V. Yakutovich, W. Xu, J. Ma, X. Feng, M. Juríček, R. Fasel, P. Ruffieux, C.A. Pignedoli. Phys. Rev. Lett. 132, 046201 (2024)
- [9] R. Sakano, T. Hata, K. Motoyama, Y. Teratani, K. Tsutsumi, A. Oguri, T. Arakawa, M. Ferrier, R. Deblock, M. Eto, Kensuke Kobayashi. Phys. Rev. B 108, 205147 (2023).
- [10] А.И. Романенко, О.Б. Аникеева, А.В. Окотруб, Л.Г. Булушева, В.Л. Кузнецов, Ю.В. Бутенко, А.Л. Чувилин, С. Dong, Y. Ni. ФТТ 44, 3, 468 (2002).
- [11] R. Ur Rehman Sagar, X. Zhang, J. Wang, C. Xiong. J. Appl. Phys. 115, 123708 (2014).
- [12] K. Kusakabe, M. Maruyama. Phys. Rev. B 67, 092406 (2003).
- [13] P. Esquinazi, Handbook of magnetism and advanced magnetic materials, vol. 4 (2007).
- [14] J. Červenka, C. Flipse. Phys. Rev. B 79, 195429 (2009).
- [15] S. Ghosh, K. Ganesan, S. R. Polaki, T. Ravindran, N.G. Krishna, M. Kamruddin, A. Tyagi. J. Raman Spectrosc. 45, 642 (2014).
- [16] S.K. Behura, I. Mukhopadhyay, A. Hirose, Q. Yang, O. Jani. Phys. Status Solidi A 210, 1817 (2013).
- [17] J. Zhao, M. Shaygan, J. Eckert, M. Meyyappan, M.H. Rummeli. Nano Lett. 14, 3064 (2014).
- [18] E. Rajackaite, D. Peckus, R. Gudaitis, M. Andrulevičius, T. Tamulevičius, D. Volyniuk, Š. Meškinis, S. Tamulevičius. Surface and Coatings Technology 395, 125887 (2020).
- [19] E. Rajackaite, D. Peckus, R. Gudaitis, T. Tamulevičius, S. Meškinis, S. Tamulevičius. Surfaces and Interfaces 27, 101529 (2021).
- [20] А.А. Максименко, Е. Раяцкайте, III. Мешкинис, Т. Тамулевичюс, С. Тамулевичюс, А.А. Харченко, А.К. Федотов, Ю.А. Федотова. Журнал БГУ. Физика 3, 89 (2020).
- [21] L. Zhang, Z. Sun, J.L. Qi, J. Shi, T. Hao, J. Feng. Carbon 103, 339 (2016).
- [22] S. Ghosh, K. Ganesan, S. Polaki, T. Mathews, S. Dhara, M. Kamruddin, A. Tyagi. Appl. Surf. Sci. 349, 576 (2015).
- [23] Ю.А. Федотова, А.А.Харченко, А.К. Федотов, М.В. Чичков, В.Д. Малинкович, А.О. Конаков, С.А. Воробьева, Ю.В. Касюк, В.Э. Гуменник, М. Kula, М. Mitura-Nowak, А.А. Максименко, J. Przewoźnik, Cz. Kapusta. ФТТ **62**, *2*, 368 (2020).
- [24] A. Fedotov, V. Shepelevich, I. Svito, V. Sivakov. Phys. Rev. B 97, 075204 (2018).
- [25] Т.А. Полянская, Ю.В. Шмарцев. ФТП 23, 1, 3 (1989).
- [26] V. Pudalov. Proceedings of the International School of Physics "Enrico Fermi" **157**, 335 (2004).

Редактор Т.Н. Василевская